

Prof. Dr.-Ing. E. Reithmeier

Berechnungseffiziente Regelstrategien zur aktiven Lärmreduktion in Headsets

Von der Fakultät für Maschinenbau der Gottfried Wilhelm Leibniz Universität Hannover zur Erlangung des akademischen Grades eines

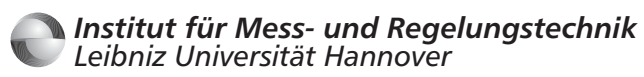
Doktor-Ingenieur

genehmigte Dissertation von

Dipl.- Ing. Jens Graf

geboren am 28. Februar 1979, in Schlüchtern

2009



Prof. Dr.-Ing. E. Reithmeier

1. Referent: Prof. Dr.-Ing. E. Reithmeier

Institut für Mess- und Regelungstechnik

2. Referent: Prof. Dr.-Ing. T. Ortmaier Institut für Mechatronische Systeme

Vorsitz: Prof. em. Dr.-Ing. Dr.-Ing. E.h. mult. Dr. h.c. H. K. Tönshoff

Institut für Fertigungstechnik und Werkzeugmaschinen

Berichte aus dem Institut für Mess- und Regelungstechnik der Leibniz Universität Hannover

Jens Graf

Berechnungseffiziente Regelstrategien zur aktiven Lärmreduktion in Headsets

Shaker Verlag Aachen 2009

Bibliografische Information der Deutschen Nationalbibliothek

Die Deutsche Nationalbibliothek verzeichnet diese Publikation in der Deutschen Nationalbibliografie; detaillierte bibliografische Daten sind im Internet über http://dnb.d-nb.de abrufbar.

Zugl.: Hannover, Leibniz Univ., Diss., 2009

Umschlag:

Das Hintergrundbild zeigt eine Kollage vom Institutsgebäude an der Leibniz Universität Hannover aus verschiedenen Zeitepochen. Gestaltung: K. Salfeld

Copyright Shaker Verlag 2009 Alle Rechte, auch das des auszugsweisen Nachdruckes, der auszugsweisen oder vollständigen Wiedergabe, der Speicherung in Datenverarbeitungsanlagen und der Übersetzung, vorbehalten.

Printed in Germany.

ISBN 978-3-8322-8392-6 ISSN 1615-7184

Shaker Verlag GmbH • Postfach 101818 • 52018 Aachen Telefon: 02407 / 95 96 - 0 • Telefax: 02407 / 95 96 - 9 Internet: www.shaker.de • E-Mail: info@shaker.de

Danksagung

Die vorliegende Dissertation entstand während meiner Tätigkeit als wissenschaftlicher Mit-

arbeiter am Institut für Mess- und Regelungstechnik der Leibniz Universität Hannover. Dem

Leiter des Instituts, Herrn Prof. Dr.-Ing. Eduard Reithmeier gilt mein großer Dank für die wis-

senschaftliche Förderung sowie für die Übernahme des 1. Referats.

Weiter möchte ich mich ganz herzlich bei Herrn Prof. Dr.-Ing. T. Ortmaier, Leiter des Instituts

für Mechatronische Systeme der Leibniz Universität Hannover für die Übernahme des Korefe-

rats bedanken. Herrn Prof. em. Dr.-Ing. Dr.-Ing. E.h. mult. Dr. h.c. H. K. Tönshoff danke ich

für die Übernahme des Prüfungsvorsitzes.

Außerdem möchte ich mich an dieser Stelle beim meinen Kollegen bedanken. Ihre Hilfsbereit-

schaft und moralische Unterstützung haben weite Teile dieser Arbeit fachlich und technisch

geprägt. Vor allem meinem ehemaligen Kollegen Herrn Dr.-Ing. H. Foudhaili danke ich für

die kreative und freundschaftliche Zusammenarbeit.

Abschließend möchte ich mich bei meiner Familie bedanken, durch deren Geduld und Bei-

stand ich stets seelische und moralische Unterstützung erfuhr.

Hannover, Juli 2009

Jens Graf

Kurzfassung

Am Institut für Mess- und Regelungstechnik der Leibniz Universität Hannover wurden bereits im Vorfeld dieser Dissertation Regelungskonzepte für ein digital-adaptives Headset zur aktiven Lärmreduzierung entwickelt. Aufbauend hierauf werden im Rahmen dieser Arbeit Regelungsstrategien vorgeschlagen, die im Hinblick auf die produktnahe Anwendung eine besonders Berechnungseffiziente Implementierung ermöglichen.

Die unterschiedlichen Regelungsstrategien verfolgen gleichermaßen das Ziel, die Leistung des Störlärms im Hörer des Headsets zu minimieren. Hierzu werden grundsätzlich die beiden Regelungskonzepte der Feedback-Reglung und der Feedforward-Regelung miteinander kombiniert. Die Regelungsansätze werden unterteilt in nicht-adaptive Regelsysteme und kombinierte Regelsysteme. Während die nicht-adaptiven Regelsysteme aus rein statisch implementierten Reglern bestehen, werden im Rahmen der kombinierten Regelsysteme nicht-adaptive Regels mit adaptiven Regelstrategien kombiniert.

Um eine adäquate Lärmreduzierung zu erzielen ist es in vielen Anwendungen ausreichend, leistungsstarke schmalbandige Komponenten des Störlärms zu dämpfen. Für diesen Anwendungsfall wird ein Verfahren vorgestellt, mit dem es möglich ist schmalbandige dominante Störsignale effizient zu kompensieren. Das hierzu benötigte Referenzsignal wird im Gegensatz zu den aus der Literatur bekannten Methoden direkt aus dem Störschall generiert.

Zur breitbandigen Lärmreduktion wird zum einen ein Verfahren vorgestellt, dass eine teiladaptive Feedback-Feedforward-Reglerkombination realisiert und zum Anderen eine teiladaptive Feedback-Feedback-Reglerkombination. Hierbei besteht jeweils der teiladaptive Regler aus einer nicht-adaptiven sowie einer adaptiven Reglerkomponente. Durch die so erhaltene Reglerstruktur kann die Anzahl der adaptiven Parameter verringert werden, was eine erhebliche Reduktion des Berechnungsaufwandes zu Folge hat. Im Vergleich zur bekannten volladaptiven Regelung können so bis zu 50 Prozent der adaptiven Parameter eingespart werden.

Schlagworte:

Aktive Lärmkompensation/Lärmreduktion, ANC Headset, ANR Headset, teiladaptive Regelung, Kompensation dominanter Störfrequenzen.

Abstract

In the run-up to this thesis, control concepts for a digital adaptive headset for active noise reduction have already been developed at the Institute of Measurement and Automatic Control at the Leibniz Universität of Hanover. On the basis of this work computationally efficient control strategies that permit the saving of significant computational effort are developed.

The objective of the proposed control strategies is the minimization of the noise signal power inside the ear-cups of the headset. In order to accomplish this, two basic control approaches which are the feedback- and the feedforward-control approache are combined. The implemented combined control algorithms are subdivided into non-adaptive combined control systems and adaptive combined control systems. While in case of the first mentioned combined controllers purely non-adaptive controllers are implemented, the latter control strategies combine non-adaptive as well as adaptive control approaches.

In order to ensure adequate noise reduction, in many applications it is sufficient to reduce the narrowband components (tonal, dominant frequencies) of the disturbing noise. For such applications, a control approach is presented which effectively eliminates the dominant disturbing frequency. In contrast to well-known methods from the literature, in the framework of this approach the required reference signal directly is obtained from the disturbing noise.

For the reduction of broadband noise two combined control approaches are discussed: The partially adaptive feedback-feedforward-control approach and the partially adaptive feedback-feedback-control approach. Hereby, each partially adaptive controller basically consists of an adaptive as well as a non-adaptive control part. The partially adaptive control structure permits the decrease of the amount of adaptive parameters. This results in a significant reduction of the computational effort. In comparison to the fully adaptive control approach, up to 50 percent of the adaptive parameters can be saved.

Keywords:

Active noise control/reduction, ANC headset, ANR headset, parially adaptive control, compensation of dominant frequencies.

Inhaltsverzeichnis

1	Einl	eitung		1
	1.1	Schall	belastung und aktive Lärmreduzierung	1
	1.2	Proble	emstellung	3
	1.3	Zielse	tzung	4
	1.4	Gliede	erung der Arbeit	5
2	Sta	nd der	Wissenschaft und Technik	7
	2.1	Anwe	ndung von ANR-Headsets und Kopfhörern	7
		2.1.1	Verfügbare ANR-Headsets und Kopfhörer	10
	2.2	Das Pı	rinzip der aktiven Lärmkompensation	12
		2.2.1	Lärmkompensation mittels destruktiver Interferenz	12
		2.2.2	Modellierung der akustischen Übertragungspfade	12
	2.3	Nicht-	adaptive Lärmkompensation	15
		2.3.1	Feedback-Regelung nach dem Standard-Regelkreis	15
		2.3.2	IMC-Feedback-Regelung	17
		2.3.3	Feedforward-Steuerung	19
	2.4	Adapt	ive Lärmkompensation - Breitbandiger Störlärm	20
		2.4.1	Struktur des adaptiven Reglers	20
		2.4.2	Lärmkompensation als Anpassungsproblem	23
		2.4.3	Fehlerfläche und Optimalfilterung	24
		2.4.4	Gradientenverfahren	26
		2.4.5	Least Mean Squares (LMS) Algorithmus	28
		2.4.6	Filtered-x Least Mean Squares (FxLMS) Algorithmus	28
		2.4.7	Erweiterungen des FxLMS-Algorithmus	30
	2.5	Adapt	ive Lärmkompensation - Schmalbandiger Störlärm	32
		2.5.1	Adaptives Notch-Filter	33

	2.6	Kombi	nierte ANR-Regelstrategien in der Forschung	35
		2.6.1	IMC-Feedback- und adaptive Feedforward-Regelung	36
		2.6.2	Standard Feedback- und adaptive Feedforward-Regelung	37
3	Ber	echnun	gseffiziente Regelstrategien	41
	3.1	Kombi	nation nicht-adaptiver Regelstrategien	41
		3.1.1	Nicht-adaptive Feedback-Feedforward-Regelung	42
		3.1.2	Richtungsabhängige Feedback-Feedforward-Regelung	46
	3.2	Kombi	nierte nicht-adaptive und adaptive Regelstrategien	53
		3.2.1	Nicht-adaptive Feedback-Feedforward-Regelung und adaptive Domi-	
			nantenkompensation	54
		3.2.2	Teiladaptive Feedback-Feedforward-Regelung	58
		3.2.3	Teiladaptive Feedback-Feedback-Regelung	70
4	Ехр	erimen	teller Aufbau und Messumgebung	79
	4.1	Akusti	sches Frontend	79
	4.2	DSP-P	lattform	81
		4.2.1	Verbindung der DSP-Plattform mit dem akustischen Frontend	82
	4.3	Messai	ufbau zur Messung der Lärmreduzierungsleistung	85
		4.3.1	Messsystem zur Messung der Lärmreduzierungsleistung	87
		4.3.2	Messung der aktiven Lärmreduzierung	89
		4.3.3	Beschallung des Headsets	89
5	Lärr	nreduz	ierung und Berechnungsaufwand	93
	5.1	Bewer	tungstabelle	93
	5.2	Nicht-a	adaptive Methoden zur Lärmreduzierung	95
		5.2.1	Passive Dämpfung der Hörerkappen	95
		5.2.2	Nicht-adaptive Feedback-Regelung	97
	5.3	Nicht-	adaptive kombinierte Regelstrategien	98
		5.3.1	Nicht-adaptive Feedback-Feedforward-Regelung	99
		5.3.2	Störschall-richtungsabhängige Feedback-Feedforward-Regelung	100
	5.4	Kombi	nierte nicht-adaptive und adaptive Regelstrategien	102
		5.4.1	Nicht-adaptive Feedback-Feedforward-Regelung und adaptive Domi-	
			nantenkompensation	102
		5.4.2	Teiladaptive Feedback-Feedforward-Regelung	104

Inhaltsverzeichnis

	5.4.3	Teiladaptive Feedback-Feedback-Regelung	 107
6	Zusammer	nfassung	111
	Literaturv	erzeichnis	115

Inhaltsverzeichnis

2.1	Links: Primärer Störschall (grau) und phaseninverser Gegenschall (schwarz)	
	überlagern sich am Ort der Kompensation. Rechts: Die destruktive Überlage-	
	rung aus Störschall und Gegenschall am Ort der Kompensation aufgetragen	
	über die Zeit.	13
2.2	Schematische Darstellung der Komponenten eines aktiv Lärm reduzierenden	
	Kopfhörers in einer typischen Beschallungssituation.	13
2.3	Oben: Prinzipieller Aufbau einer Hörerkappe. Unten: Modellierte Übertra-	
	gungsstrecken. Die Strecken $P_1(z)$ und $P_2(z)$ bilden die Übertragung des pri-	
	mären Störschalls zu den beiden Mikrofonen nach und werden als Primärstre-	
	cken bezeichnet. Die Strecke $S(z)$ wird als Sekundärstecke bezeichnet	14
2.4	a) Darstellung des Standard-Regelkreises wie aus der regelungstechnischen	
	Literatur bekannt. b) Darstellung des Standard-Regelkreises wie in der Litera-	
	tur für aktive Lärmkompensation verwendet	16
2.5	Feedback-Regelung nach dem Prinzip des Internal Model Control (IMC)	18
2.6	Nicht-adaptive Feedforward-Steuerung.	19
2.7	Der Adaptionsalgorithmus verändert durch Minimierung eines auf dem Aus-	
	gangsfehler $e(n)$ basierenden Gütefunktionals die Parameter des adaptiven	
	Modells $W(z)$	21
2.8	Transversale Filterstruktur des FIR-Filters	22
2.9	Analog zur Systemidentifikation erfolgt im Rahmen der aktiven Lärmkompen-	
	sation die Anpassung der Parameter des Feedforward-Filter $W(z)$	24
2.10	Fehlerfläche in Abhängigkeit der Filterkoeffizienten. Aufgrund der quadrati-	
	schen Abhängigkeit existiert lediglich ein globales Minimum.	27
2.11	Blockschaltbild des adaptiven Regelkreises unter Berücksichtigung der Sekun-	
	därstrecke	29

2.12	a) Signalsynthese in der komplexen Ebene. b) LMS-Anpassung der Amplitu-	
	$\operatorname{den} x_0(n)$ und $x_1(n)$ zur Realisierung eines adaptiven Notch-Filters	33
2.13	ANR-System zur Kompensation von monofrequentem Störlärm	35
2.14	Kombinierte Regelstrategie zur Verbesserung der aktiven Lärmreduzierung:	
	Verbindung der nicht-adaptiven IMC-Feedback-Regelung mit dem adaptiven	
	Feedforward-Regler	36
2.15	Kombinierte Regelstrategie: Verbindung des Standard Feedback-Regelkreises	
	mit der adaptiven Feedforward-Regelung.	38
3.1	Nicht-adaptive Feedback-Feedforward-Reglerkombination.	43
3.2	Amplituden- und Phasengang des offenen Feedback-Regelkreises. Die Durch-	
	trittsfrequenzen f_{d1} und f_{d2} sind durch vertikale Linien markiert. Der grau	
	hinterlegte Bereich repräsentiert Phasenverschiebungen größer 180°	44
3.3	Amplituden- und Phasengang. Durch Messung ermitteltes, optimales Filter	
	und entworfenes Feedforward-Filter	45
3.4	a) Direkte Beschallung der linken Hörerkappe. b) Indirekte Beschallung der	
	linken Hörerkappe aus entgegengesetzter Richtung.	47
3.5	a) Approximation des Beschallungswinkels φ auf Basis der Signalleistungen	
	der Referenzmikrofone. b) In einer Messung ermittelte Gewichtung a_1 in Ab-	
	hängigkeit des Beschallungswinkels φ	48
3.6	Von der Beschallungsrichtung abhängige Feedforward-Steuerung. Die nicht-	
	adaptiven Filter $W_1(z)$ und $W_2(z)$ wurden für unterschiedliche Beschallungs-	
	richtungen ausgelegt. Der Einfluss von $W_1(z)$ und $W_2(z)$ auf die Stellgröße	
	$y_{FF}(n)$ wird mit Hilfe der Gewichtungsfaktoren $a_1(\varphi)$ und $a_2(\varphi)$ durch den	
	Anpassungsalgorithmus festgelegt	50
3.7	Für verschiedene Beschallungswinkel ermittelter Koeffizient $a(\varphi)$. Dieser Ko-	
	effizient approximiert die Funktion $a_h(\varphi)$ und wird mit Hilfe von Gleichung	
	3.15 transformiert, um so die Gewichtungsfunktion nachzubilden	51
3.8	Gewichtungsfunktionen in Abhängigkeit der Beschallungsrichtung.	52
3.9	Kombinierter Regelkreis bestehend aus einem Feedback-Standard-Regelkreis	
	in Verbindung mit einer von der Beschallungsrichtung abhängigen Feedfor-	
	ward-Steuerung	53
3.10	Amplitudengang des verwendeten Bandpassfilters $F_{BP}(z)$ zur Filterung des Re-	
	ferenzionals Grenzfrequenzen: $f_{C1} = 80 \mathrm{Hz}$ und $f_{C2} = 120 \mathrm{Hz}$	55

3.11	Bodediagramm der Sekundarstrecke bestenend aus geschlossenem Feedback-	
	Regelkreis und vorgeschaltetem Entfärbungsfilter	56
3.12	Adaptives Notch-Filter zur Kompensation monofrequenter Störungen. Das Re-	
	ferenzsignal wird mit einem Bandpassfilter gefiltert, um so ein schmalbandi-	
	ges Referenzsignal zu erhalten. Die schmalbandige Referenz ermöglicht eine	
	Vereinfachung des Sekundärstreckenmodells	57
3.13	Kombinierter Regelkreis mit adaptivem Notch-Filter. Die Reduzierung von	
	breitbandigem Störlärm wird durch die nicht-adaptive Feedforward-Steuerung	
	und den Feedback-Regelkreis gewährleistet. Eine weitere Reduktion der domi-	
	nanten Störfrequenz wird durch das adaptive Notch-Filter erreicht.	58
3.14	a): Typische Pol- und Nullstellenverteilung eines Feedforward-Filters. b): Auf-	
	enthaltsorte von Pol- bzw. Nullstellen gleicher Grenzfrequenz sind durch un-	
	terbrochene Linien dargestellt. Frequenzen unter 1000 Hz wurden grau hinter-	
	legt.	60
3.15	Bodediagramm des nicht-adaptiven Teils der teiladaptiven Feedforward-Rege-	
	lung	61
3.16	Möglichkeiten der Zusammenschaltung von nicht-adaptivem und adaptivem	
	Feedforward-Filter	62
3.17	Verschiebung der Summationsstelle bei paralleler Zusammenschaltung	65
3.18	Links: Impulsantwort bei konventioneller Implementierung des adaptiven Fil-	
	ters $\mathcal{W}(z)$ mit 140 adaptiven Parametern. Der grau hinterlegte Bereich verdeut-	
	licht, dass die Impulsantwort bei Verwendung von lediglich 70 Parametern	
	noch nicht hinreichend abgeklungen ist. Rechts: Impulsantwort des adaptiven	
	Teils des teiladaptiven Feedforward Filters. Die Impulsantwort weist zwar ein	
	deutliche Schwingung auf, ist aber hinreicht abgeklungen.	66
3.19	Kombinierter Regelkreis: nicht-adaptiver Standard Feedback-Regelkreis in Ver-	
	bindung mit einer teiladaptiven Feedforward-Regelung.	68
3.20	Das Upsampling von 10kHz auf 20kHz erfolgt in zwei Schritten: Einfügen	
	von Nullen zwischen zwei benachbarten Werten des 10kHz-Signals. Danach:	
	Tiefpassfilterung zur Glättung des Signals	69
3.21	Sekundärstrecke $S^*(z)$ der teiladaptiven Regelung	70
3.22	a) Standard-Regelkreis mit adaptivem Regler $W(z)$. b) Adaptiver IMC-Feed-	
	back Regelkreis.	71

3.23	aus nicht-adaptiver und adaptiver Feedback-Regelung.	72
3.24	Modifizierter, kombinierter Feedback-Regelkreis mit Neutralisierungsfilter. Die	
	Sekundärstrecke wird vereinfacht durch $\hat{S}'(z) = -1$ modelliert	74
3.25	Amplitudengang und Phasengang der Sekundärstecke $S^*(z)$ und des Neutrali-	
	sierungsfilters $F_{Neut}(z)$	76
3.26	Amplituden- und Phasengang der neutralisierten Sekundärstecke $S'(z)$. Rechts:	
	Kennzeichnung der Bereiche bei Divergenzgefahr des FxLMS-Algorithmus	77
4.1	ANR-Serienprodukt <i>HMEC 450</i> der Firma Sennheiser	80
4.2	Links: DSP-Plattform. Rechts: Vereinfachtes Blockdiagram mit den zentralen	
	Komponenten der digitalen Hardware.	81
4.3	Anbindung des akustischen Frontends an die DSP-Plattform. Für jede Hörer-	
	seite werden zwei Eingänge für Mikrofone sowie einen Ausgang zur Anbin-	
	dung des Kompensationslautsprechers benötigt.	83
4.4	Komponenten und Messung der Sekundärstrecke unter Verwendung eines zu-	
	sätzlichen DSP-Einganges (hervorgehoben durch hell umrandete Boxen)	84
4.5	Links: Schemazeichnung des Testkopfes. Rechts: Foto des Testkopfes	85
4.6	Prototyp zur Verifikation der Regelalgorithmen.	86
4.7	Aufbau zur Messung der Lärmreduktion	87
4.8	Frequenzgang des Störlautsprechers. Der relevante Frequenzbereich wurde	
	grau hinterlegt	88
4.9	Links: Amplitudengang des Equalizing-Filters. Rechts: Equalizter Frequenz-	
	gang des Störlautsprechers (durchgezogene Linie). Zum Vergleich ist der nicht-	
	equalizte Frequenzgang als unterbrochene Linie dargestellt	88
4.10	Links: Günstige Beschallungsrichtung für die rechte Hörerkappe, jedoch un-	
	günstige für die linke Hörerkappe. Rechts: Umgekehrte Situation.	90
4.11	Links: Breitbandiges Störsignal. Rechts: Schmalbandiges Störsignal eines Pro-	
	peller angetriebenen Do228-212 Flugzeuges	90
5.1	Bewertungstabelle zur qualitativen Bewertung der Leistungsfähigkeit von ANR-	
	Algorithmen.	94
5.2	Links: Störspektrum, keine lärmreduzierenden Maßnahmen. Rechts: Passive	
	Dämpfung der Hörerkappen.	96
5.3	Bewertungstabelle zur passiven Dämpfung der Hörerkappen	96

5.4	Links: Störspektren bei Feedback-Regelung nach dem Standard-Regelkreis.	
	Rechts: Aktive Lärmreduzierung	97
5.5	Feedback-Regelung nach dem Standard-Regelkreis. Oben: Charakteristische	
	Eigenschaften der Regelung. Unten: Berechnungsaufwand.	98
5.6	ANR-Vergleich: Kombinierte nicht-adaptive Feedback-Feedforward-Regelung	
	vs. nicht-adaptive Feedback-Regelung nach dem Standard-Regelkreis.	99
5.7	Kombinierte nicht-adaptive Feedback-Feedforward-Regelung. Oben: Charak-	
	teristische Eigenschaften der Regelung. Unten: Berechnungsaufwand.	100
5.8	ANR-Vergleich: Kombinierte nicht-adaptive Feedback-Feedforward-Regelung	
	vs. richtungsabhängige Feedback-Feedforward-Regelung	101
5.9	Störschall-richtungsabhängige Feedback-Feedforward-Regelung. Oben: Cha-	
	rakteristische Eigenschaften der Regelung. Unten: Berechnungsaufwand	101
5.10	Nicht-adaptive Feedback-Feedforward-Regelung und adaptive Dominanten-	
	kompensation. Oben: <i>Do228-212</i> Störlärm, Dominante bei 102 Hz. Unten: Breit-	
	bandiger Störlärm.	103
5.11	Nicht-adaptive Feedback-Feedforward-Regelung und adaptive Dominanten-	
	kompensation. Oben: Charakteristische Eigenschaften der Regelung. Unten:	
	Berechnungsaufwand	104
5.12	$Teil adaptive\ Feedback-Feedforward-Regelung\ vs.\ volladaptive\ vs.\ volladaptive\ Feedback-Feedback-Feedforward-Regelung\ vs.\ volladaptive\ vs.\ volladaptive\ vs.\ volladaptive\ vs.\ volladaptive\ vs.\ volladaptive\ vs.\ volladaptive\ vs.\ v$	
	forward-Regelung. Oben: <i>Do228-212</i> Störlärm, Dominante bei 102 Hz. Unten:	
	Breitbandiger Störlärm	105
5.13	Charakteristische Eigenschaften und Berechnungsaufwand. Oben: Teiladapti-	
	ve Feedback-Feedforward-Regelung. Unten: Standard Feedback- und vollad-	
	aptive Feedforward-Regelung.	106
5.14	Teiladaptive Feedback-Feedback-Regelung mit Neutralisierungsfilter vs. kon-	
	ventioneller Implementierung. Oben: Do228-212 Störlärm, Dominante Stör-	
	frequenz bei 102 Hz. Unten: Breitbandiger Störlärm.	107
5.15	Charakteristische Eigenschaften und Berechnungsaufwand. Oben: Teiladap-	
	tive Feedback-Feedback-Regelung mit Neutralisierungsfilter. Unten: Konven-	
	tionelle teiladaptive Feedback-Feedback-Regelung.	108
6.1	Gegenüberstellung der in dieser Arbeit vorgestellten Regelstrategien	113
U. I	occonductional del ill diesel ribell volgestellell regelstiategicil,	113

Formelzeichen und Abkürzungen

Buchstaben

$a_1(n)$	Gewichtung in Abhangigkeit des Beschallungswinkels (direkte Beschallung)
$a_2(n)$	Gewichtung in Abhängigkeit des Beschallungswinkels (indirekte Beschallung
$a_h(\varphi)$	von der Beschallungsrichtung abhängige Hilfsfunktion
a_i	Nennerkoeffizienten eines Filters
b_i	Zählerkoeffizienten eines Filters
d(n)	am Fehlermikrofon erfasste Primärstörung
D(z)	z-Transformierte der Schallstörung
Do(z)	Übertragungsblock "Downsampling"
e(n)	Fehlersignal
E(z)	z-Transformierte des Fehlersignals
f_{d1}	Untere Durchtrittsfrequenz
f_{d2}	Obere Durchtrittsfrequenz
f_{G1}	untere Grenzfrequenz des Bandpass-Filters
f_{G2}	obere Grenzfrequenz des Bandpass-Filters
f_s	Abtastfrequenz
$F_{BP}(z)$	Übertragungsfunktion des Bandpass-Filters
$F_{Neut}(z)$	Übertragungsfunktion des Neutralisierungsfilters
$F_{Entf}(z)$	Entfärbungsfilter
$F_{Gew}(z)$	Übertragungsfunktion des frequenzselektiven Filters
H(z)	Störübertragungsfunktion
k	je nach Kontext: Zeitdiskrete Variable oder Konstante
L	Länge des Koeffizientenvektors eines FIR-Filters
L_{imp}	Länge der Impulsantwort

Signalleistung

 L_x

$\hat{L}_x(n)$	Approximation der Signalleistung
$\hat{L}_{xl}(n)$	Approximation der Signalleistung des linken Referenzmikrofons
$\hat{L}_{xr}(n)$	Approximation der Signalleistung des rechten Referenzmikrofons
M	Anzahl der Zählerkoeffizienten
N	Anzahl der Nennerkoeffizienten
n	zeitdiskrete Variable für Signale, die mit 20 kHz abgetastet wurden
\mathbf{p}_{dx}	Kreuzkorrelationsvektor zwischen Störung und Referenzsignal
\mathbf{p}_{dy}	Kreuzkorrelationsvektor zwischen Störung und Ausgang $y_{na}(n)$
$P_1(z)$	Primärstrecke des Schalls von der Störquelle bis zum Referenzmikrofon
$P_2(z)$	Primärstrecke des Schalls von der Störquelle bis zum Fehlermikrofon
$P_{L1}(z)$	Primärstrecke zur linken Referenz, direkte Beschallung
$P_{L1'}(z)$	Primärstrecke zur linken Referenz, indirekte Beschallung
$P_{L2}(z)$	Primärstrecke zum linken Fehlersignal, direkte Beschallung
$P_{L2'}(z)$	Primärstrecke zum linken Fehlersignal, indirekte Beschallung
P_{x}	Leistung des Referenzsignals
P_x'	Leistung des gefilterten Referenzsignals
R(z)	Übertragungsfunktion eines Feedback-Reglers im allgemeinen Fall
$\mathbf{R}_{\chi\chi}$	Autokorrelationsmatrix der Referenz $x(n)$
\mathbf{R}_{yy}	Autokorrelationsmatrix des Signals $y_a(n)$
s(n)	Impulsantwort der Sekundärstrecke
S(z)	Sekundärstrecke (Kompensationslautsprecher zum Fehlersignal)
$\hat{S}(z)$	Modell der Sekundärstrecke $S(z)$
$S^*(z)$	Sekundärstrecke, welche den geschlossenen FB-Regelkreis enthält
$\hat{S}^*(z)$	Modell der Sekundärstrecke $S^*(z)$
S'(z)	neutralisierte Sekundärstrecke
$\hat{S}'(z)$	Modell der neutralisierten Sekundärstrecke
st(n)	an der Störschallquelle erfasste Störung
St(z)	z-Transformierte von $st(n)$
T_1	Zeitkonstante
T_s	Abtastzeit
u(n)	vom Kopfhörer-Lautsprecher gesendeter Schall im Fehlersignal
U(z)	z-Transformierte von $u(n)$
Up(z)	Übertragungsblock "Upsampling"
$\mathbf{w}(n)$	Koeffizientenvektor des adaptiven Filters

Formelzeichen und Abkürzungen

$w_0(n)$	adaptiver Parameter des Notch-Filters
$w_1(n)$	adaptiver Parameter des Notch-Filters
$w_i(n)$	Koeffizient i des Vektors \mathbf{w}
\mathbf{w}_{opt}	Optimaler Parametervektor des adaptiven FIR-Filters
W(z)	Übertragungsfunktion des adaptiven FIR-Filters
$W_1(z)$	entworfenes Feedforward-Filter für direkte Beschallung
$W_2(z)$	entworfenes Feedforward-Filter für indirekte Beschallung
W'(z)	entworfenes Feedforward-Filter für indirekte Beschallung
$W_{na}(z)$	nicht-adaptives Filter der teiladaptiven Regelung
x(n)	Referenzsignal
$\mathbf{x}(n)$	Vektor abgetasteter Werte des Referenzsignals
X(z)	z-Transformierte des Referenzsignals
$x_0(n)$	Referenzsignal des adaptiven Notch-Filters
$x_1(n)$	zweites Referenzsignal des adaptiven Notch-Filters
x'(k)	gefiltertes Referenzsignal
x'(n)	gefiltertes Referenzsignal
$\mathbf{x}'(n)$	Vektor abgetasteter Werte des gefilterten Referenzsignals
X'(z)	z-Transformierte des gefilterten Referenzsignals
$X_L(z)$	z-Transformierte des linken Referenzsignals
$X_R(z)$	z-Transformierte des rechten Referenzsignals
y(n)	Stellgröße
$y_a(n)$	upgesampelte Variable
$y_{a'}(k)$	verwendete Variable beim Upsampling
$y_w(k)$	Ausgang des adaptiven Filters
$Y_w(z)$	z-Transformierte des Ausganges des adaptiven Filters
y(n)	abgetastetes Signal der Stellgröße
Y(z)	z-Transformierte der Stellgröße
$y_{na}(n)$	Ausgang des nicht-adaptiven Filters $W_{na}(z)$
$y_{FF}(n)$	Stellgröße des Feedforward-Zweiges
$y_t(n)$	Ausgang des teiladaptiven Reglers
$Y_t(z)$	z-Transformierte von $y_t(n)$
α	konstanter Faktor beim NLMS-Verfahren
α_{γ}	Vorfaktor des Stellgrößenabhängigen Leak-Faktors
ωγ	Torraktor des sterigrobendonangigen Leak-raktors

β Vergessenfaktor beim NLMS-Verfahren θ_1 Phasenverschiebung zwischen zwei monofrequenten Referenzen Phasenverschiebung zwischen $x_0(n)$ und y(n) θ_{v} Beschallungsrichtung φ feste Gewichtung der Stellgrößenleistung γ Gewichtungsfunktion der Stellgrößenleistung $\gamma(n)$ Anpassungsschrittweite in der Update-Gleichung fester Leakage-Faktor v(n)adaptiver Leakage-Faktor

Indizes

 $\xi(n)$

bezogen auf das Entfärbungsfilter
bezogen auf den Feedback-Regler (allgemein)
bezogen auf den Feedforward-Regler
bezogen auf das Frequenzselektive Filter
bezogen auf den IMC-Feedback-Regler
bezogen auf die linke Kopfhörerseite
optimal
bezogen auf die rechte Kopfhörerseite
bezogen auf ein Referenzsignal

zu minimierendes Gütefunktional

Operatoren und Symbole

$\frac{\partial \cdot}{\partial \cdot}$	partielle Ableitung
$\mathscr{Z}\{\cdot\}$	z-Transformierte
$\mathscr{Z}^{-1}\{\cdot\}$	inverse z-Transformation
$E[\cdot]$	Erwartungswert
*	Faltung
$\hat{\cdot}$	Schätzung/Modell
\cdot^T	transponiert

Formelzeichen und Abkürzungen

Abkürzungen

A/D Analog/Digital

ANC Active Noise Control
ANR Active Noise Reduction

D/A Digital/Analog

dB Dezibel

DSP Digital Signal Processor FIR Finite Impulse Response

FB Feedback
FF Feedforward

FxLMS Filtered-x-Least-Mean-Square

Hz Hertz

IIR Infinite Impulse ResponseIMC Internal Model ControlLMS Least Mean SquareMSE Mean Square Error

NLMS Normalized Least Mean Square PGA Programmable Gain Amplifier